

鹿島大学工学部  
鹿島大学大学院正員 尾島 勝  
学生員 ○森木一郎

## 1 まえがき

最近、ふたたび地下水流および浸透流に関する研究が活発化してきた。その目的は、水質汚染を地下水に求めることと地下水の変動に起因する災害の防止とに大別される。いずれにしても、地下水流あるいは浸透流の挙動に影響を及ぼす要因の詳細な分析・評価とその挙動をより合理的に表現しうるモデルの確立が基礎的な研究課題である。われわれは、多種の影響要因をもち複雑な挙動を示す依平地自由地下水を対象として、その非定常性の評価を地下水位変動量と流量の時間的変化特性にとづいて行なうとするものである。すなわち、砂層モデルを用いた実験結果より、水位変動量と流量に影響を及ぼす諸要因の場所的・時間的な影響について検討するとともに、数理モデルにおいて問題となる導水層透数について次の検討法を検討する。

## 2 地下水の挙動に影響する諸要因

影響要因として、1)外水位変動量、2)初期水位、3)初期水面こう配、4)不透水層こう配、5)透水係数および有効間引き率を考え、現象としては図-1(a), (b)に示されるような浸透過程・排水過程について検討する。

ここで挙げた1)～3)は降水、潮汐などの気象条件と揚水、ダム放流などの人为的条件の変化に対するものであり、4)および5)は現象生起場の地形条件と地質条件に関するものである。しかし、1)～4)の条件は与えられたとしても5)にあげた透水係数および有効間引き率は、層構成粒子の粒径・粒度分布・粗度、層の非均質性などの相違に加えて、水の運動の粗さによって変化するものであるから、非定常時ににおけるこれらの値を直接的に測定し検定することは実際上きわめて困難である。したがって、これらが変動量であるとすれば、影響要因として挙げるとよりもむしろ未知量として、その変化特性を検討することがまず第一の問題であるかもしれない。

## 3 非定常性の評価

2)に挙げた1)～4)の影響要因が、非定常時ににおける水位変動および流量に及ぼす影響を検討したものである。実験装置および実験方法は前報<sup>1)</sup>に示した。モデル砂層の物理諸量ならびに浸水性試験による定常時の透水係数を表-1に示すとおりである。実験は図-1(a), (b)の異なる型式に対し、[I]初期水面こう配(H<sub>0</sub>)、[II]外水位スティップ上界のモデル

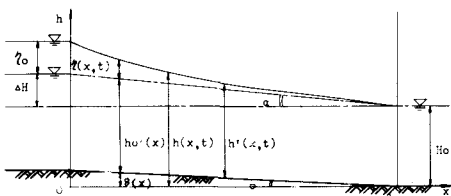


図-1(a) 外水位スティップ上界のモデル

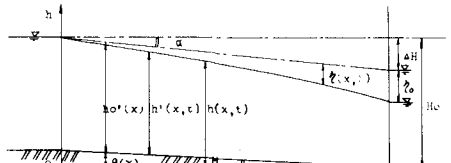


図-1(b) 外水位スティップ降下のモデル

比重 G <sub>s</sub>	2.65
有効粒径 D <sub>e</sub> (mm)	0.35
均等係数 C <sub>s</sub>	2.03
透水係数 K( cm/s)	0.89
間引き率	0.38

## 3-1 実験結果の考察

砂層の長さは3mであるが10cm間隔に水頭測定用のノーマータ伏設置されており、これらの水頭測定記録から各測点における各時刻の水位変動量 $\eta(x, t)$ を読み取り基本データとする。同時に上流端および下流端で実験開始後一分毎の流入・流出流量の測定を行ない、これらも基本データとする。

### i) 水位変動量 $\Delta H$ 及び不透水層 $\eta$ う配の影響

[I], [II], [III], [IV] のいずれかの実験結果においても図-2にみられるような傾向が認められる。すなわち、 $\eta$  が存在することによる影響は、実験初期ほど大きい。また、浸透状態に近づくとみられる実験の終期においてもその比が完全に 1 に収束してしまふことからこの相違による影響が残ると見えるよう。したがって、浸常時においても水面形は左右で異なる。

さらに、場所的には外水位変動端より遠い測点ほど、 $\eta$  の相違が大きいことがわかる。これは、今回考察した他の影響要因に対しても同様である。結果的には変動端におけるえられる変動の砂層内における伝播速度の相違というよりも集約され、その内部機構は動水  $\eta$  う配、伝播速度（透水係数）、貯留係数（有効間隔率）などの変化によって支配されるものと考えられる。故に他の要素を固定して考えるならば、動水  $\eta$  う配が大きいほど伝播速度も大きくなるから、 $\eta$  が存在するならばそれだけ動水  $\eta$  う配の減少になり、伝播速度も小さくなる。したがって、同一時刻での  $\eta$  を比較した場合、変動端から遠い測点ほど相違が大きくなることは当然であろう。しかし、各測点における  $\eta$  の比の時間変化曲線の変化の様相が左が右を超越するところから、单纯に動水  $\eta$  う配の相違だけでは説明されず、2 で指摘したように非浸常時ににおける透水係数や有効間隔率の変化と結びつけて解説されなければならぬと思われる。

図-2 の (a), (b) を比較すれば浸透過程と排水過程における  $\eta$  の影響の違いが明らかである。すなわち、浸透状態における  $\eta$  の比は、浸透過程においては 1 より小さく、排水過程においては 1 より大きい。この現象の説明も未解決であり、さらに検討していただきたい。

### ii) 水位変動量 $\Delta H$ 及び初期水深 $H_0$ の影響

[I], [II], [III], [IV] のいずれかの実験結果も図-3 に示されるよう傾向が認められる。すなわち、 $H_0$  の相違による影響は、実験初期ほど大きい ( $\text{cm}$ ) が、同一時刻における  $H_0$  が大きいほど大きい。浸透状態に至るまでの比は  $\frac{\eta_{1-2}(H_0=20)}{\eta_{1-2}(H_0=6)}$  一定値に収束し、場所的な相違もなくなるようで、浸常時における水面形は同じである。さらに  $\eta$  の絶対値について比較すれば、図-3 に示された TYPE I-2 と TYPE I-5 の場合、図-4 のようである。これらの結果より  $H_0$  が相対的に大きいほど変動の伝播速度が速いことがわかる。

### iii) 流量 $Q$ 及び $\eta$ の影響

図-2 (a) を検討すると II-6 および II-18 の実験における一分間に上流端流入流量  $Q_{in}$  と下流端流出流量  $Q_{out}$  の定常流量比に対する比を縦軸に、時間と横軸にとってその変化特性を示したのが図-5 である。

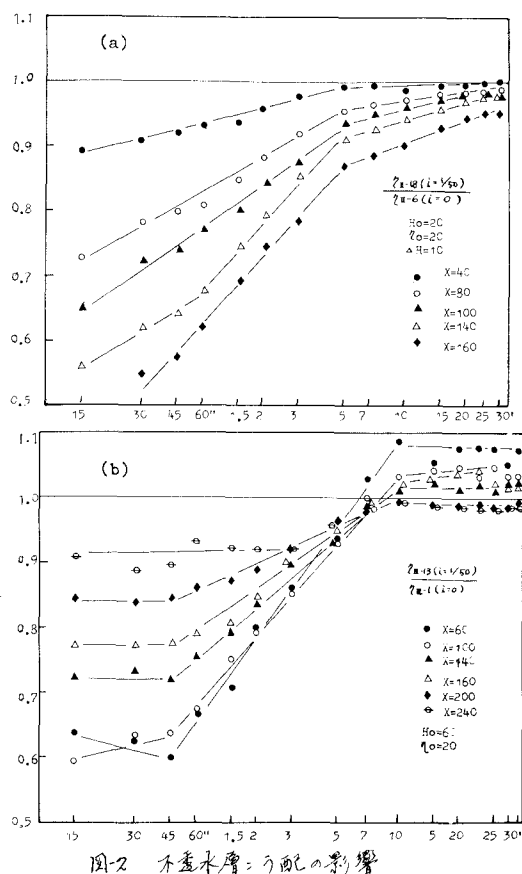


図-2 不透水層  $\eta$  う配の影響

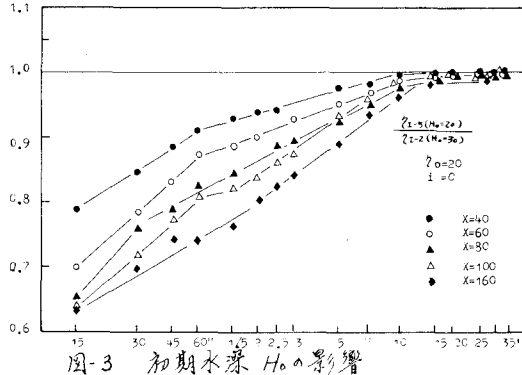


図-3 初期水深  $H_0$  の影響

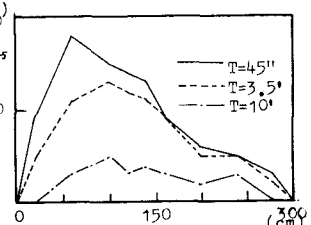


図-4 水位変動量の差

II-6 および II-18 の実験における定常流量は、それぞれ  $30.1 \text{ (cm}^3/\text{min/cm)}$ ,  $30.0 \text{ (cm}^3/\text{min/cm)}$  であり、両者はほぼ等しいが、定常到達時間は II-6 ( $i=0$ ) の方が II-18 ( $i=1/50$ ) よりも 5 分程度短いことがわかる。その他の実験における定常流量を比較表示したのが表-2である。対比した実験において上段が  $i=0$ 、下段が  $i=1/50$  である。これらの結果より、定常流量に対する相違による影響は小さく、 $i$  の相違による影響は非定常時における流量変化の様相に強く影響を及ぼすといえる。すなわち、8in/80 の変化曲線は両実験ともよく一致しているのにに対し、8in/60 の変化曲線には明らかに相違が認められる。II-6 の方が II-18 よりも早く定常状態へ移行する様子が明らかであって、(i)で考察した水位変動に対する  $i$  の影響とよく対応するものである。

なお、その他の影響要因に関する詳細は検討は請済時に述べる。

### 3.2 数理モデルにおける導水層透数の考察

图-1(a), (b) に示されるモデルに対する非定常浸透流の運動を表す基礎式はつきのようである。

$$\frac{\partial H}{\partial t} = \beta(x,t) \left\{ [H_0 \pm \eta + (x-l)(i-\alpha)] \frac{\partial \eta}{\partial x} + 2(i-\alpha) \frac{\partial \eta}{\partial x} \pm \left( \frac{\partial \eta}{\partial x} \right)^2 \pm (i-\alpha)^2 \right\}$$

$$+ \frac{\partial \theta}{\partial x} \left\{ H_0 \pm \eta + (x-l)(i-\alpha) \right\} \left\{ \frac{\partial \eta}{\partial x} \pm (i-\alpha) \right\}$$

$\Sigma$  :  $K$ , 復号の  $\pm$  は  $(a)$ ,  $-$   $(b)$  のモデルに対するである。 $\beta$  は  $\beta(x,t)$   
 $= \kappa(x,t)/\lambda(x,t)$  であり,  $\kappa(x,t)$  は導水係数, 入山は初期削り落としである。

ところで、この式は直接解析解を求めることは不可能であるから、何らかの近似を試みなければならぬ。まず、右辺のオイコロジック (partial derivative) を無視して、右辺のオイコロジックに含まれる各項の場所的、時間的变化の様子を調べることもなく、左の変動のオーダーを調べた。左の一例を图-6 に示す。このようないくつかの項別比較図より、定常時における各項の値は、場所的にほぼ一定値となる傾向があることなく、非定常時における各項の値は変動範囲に近いところでは定常時の値よりも大きく、遙かところでは定常時の値よりも小さくなることがある。

また、オイコロジックに含まれる各項の総和と  $[H_0 \frac{\partial \eta}{\partial x} + 2(i-\alpha) \frac{\partial \eta}{\partial x}]$  の値の比について調べれば表-3 のようである。したがって、基礎式の右辺を  $\beta(x,t) [H_0 \frac{\partial \eta}{\partial x} + 2(i-\alpha) \frac{\partial \eta}{\partial x}]$  のように近似して場合の地盤を無視する影響は表-3 のような結果として評価されることがある。

$\beta(x,t)$  の変化と実験結果から求めることができるが、その値とわかることの定常時の  $\beta$  の関連性はまだ明らかでなく、十分の考察に至っていない。今後の検討に含めて請済時に発表できる所存である。

1) 非定常浸透流に関する実験; 昭和48年度第二次術請済会請済集(II-170), 昭48.10.

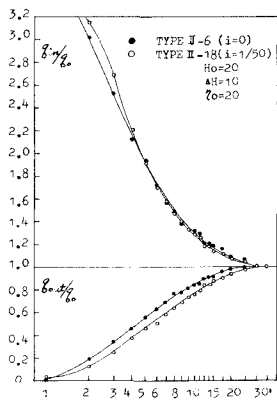


図-5 流量変化曲線

表-2 定常流量

TYPE	$q_0$ ( $\text{cm}^3/\text{min/cm}$ )	TYPE	$q_0$	TYPE	$q_0$	TYPE	$q_0$
I-2	38.8	II-4	16.1	III-1	36.6	IV-1	14.3
I-14	31.5	II-16	13.5	III-13	33.1	IV-13	14.8
I-3	19.3	II-5	15.3	III-2	17.9	IV-2	15.1
I-15	12.8	II-17	14.4	III-14	16.9	IV-14	14.8
I-5	29.6	II-6	30.1	III-3	31.6	IV-3	24.8
I-17	24.4	II-18	30.0	III-15	31.9	IV-15	27.1
I-6	14.1			III-4	15.8	IV-4	11.4
I-18	12.3			III-16	16.1	IV-16	12.5

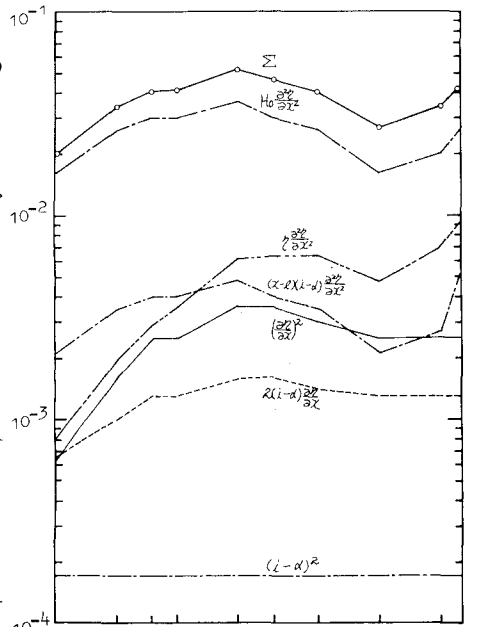


図-6 項別比較 (TYPE II-17,  $x=100$ )

表-3

$t$	15"	30"	45"	1'	2'	3'	5'	10'	20'	25'
60	1.3	1.4	1.4	1.4	1.5	1.5	1.6	1.5	1.6	1.6
100	1.2	1.3	1.3	1.3	1.4	1.4	1.5	1.6	1.6	1.6
200	1.1	1.1	1.1	1.1	1.1	1.1	1.2	1.3	1.4	1.5